

где $1 \leq k \leq 2,5$, a и b — большая и малая полуоси галактики, x и y — расстояния от центра вдоль полуосей. В зависимости от соотношения полуосей, характеризующих степень видимого сжатия Γ , Е-галактики подразделяются на 8 классов, причём номер класса n связан с полуосами a и b соотношением $n=10(a-b)/a$. Не обна-

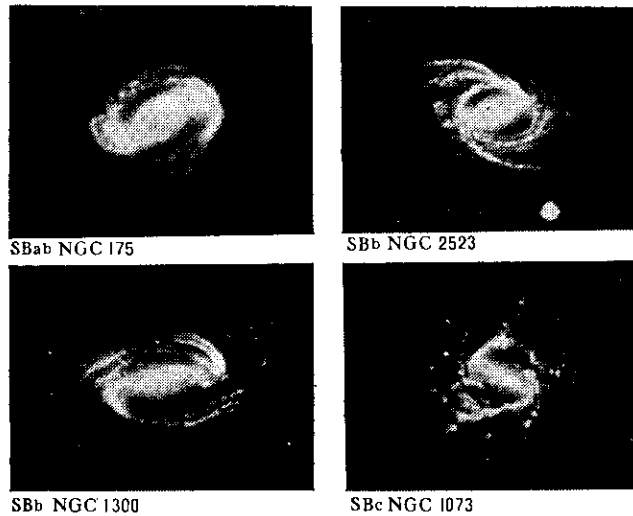


Рис. 3. Пересечённые спиральные галактики.

ружены Г. с $n > 7$, что, вероятно, связано с неустойчивостью чрезмерно сжатых систем. В Е-галактиках не наблюдаются в замкнутых кол-вах как молодые яркие звёзды, так и межзвёздный газ. Интересно, что видимое сжатие Е-галактик, как правило, связано не с их вращением, а с сильной апизотропией внутр. движений звёзд. Нек-рые из Е-галактик обладают активными ядрами (см. Ядра галактик).

Сpiralные Г. (S-галактики) имеют ярко выраженные спиральные рукава, состоящие из молодых ярких звёзд и газово-пылевых туманностей. В S-галактиках выделяют сферическую и плоскую подсистемы, а также ядро галактики. Яркие молодые звёзды принаследуют к плоской подсистеме и концентрируются к плоскости Г., а в пей — к спиральным рукавам. Однако осн. долю в массу плоской подсистемы вносят не самые молодые и поэтому не самые яркие звёзды. Они не концентрируются к рукавам, и поэтому в S-галактиках масса распределена всегда заметно симметричнее, чем яркость. Примерно у половины S-галактик ядро сильно вытянуто и спиральные рукава начинаются с концов ядра. Такие Г. (пересечённые спиральные, или спиральные с перемычкой — «баром») обозначаются как SB-галактики. Как обычные Г., так и Г. с перемычкой подразделяются на классы в зависимости от размеров ядра и от степени закрученности спирали: Sa, Sb, Sc и SBa, SBb, SBc. При переходе от Sa к Sc уменьшаются ядро галактики, и степень закрученности спиральных ветвей. В S-галактиках наблюдается сильное дифференцирование.

Между Е- и S-галактиками выделяют особый тип лиловидных Г., к-рые по структуре близки к спиральным Г., но содержат очень мало газа (подобно Е-галактикам) и не обладают спиральной структурой.

К несправильным (Ir) Г. относят неск. различных по характеру классов Г. IrI является предельным случаем S-галактик, это — сильно уплощённые системы без ядра и спиральной структуры, обладающие очень несимметричным распределением яркости при сравнительно симметричном распределении вещества. Галактики IrII имеют неправильную ключковатую форму, не содержат звёзд-сверхгигантов и ярких газовых туманностей. К неправильным Г. относят также пекулярии (нетипичные) галактики.

Особенно сильно различаются по массе, светимости и размеру Е-галактики. Встречаются гигантские эллиптич. Г. с массами до 10^{12} — $10^{13} M_\odot$ и карликовые Е-галактики с массой $M \sim 10^8 M_\odot$. Среди S-галактик разброс по массам не так велик: гигантские S-галактики имеют массу $M \sim 10^{12} M_\odot$, масса карликовых S-галактик $M \sim 10^7 M_\odot$. Масса нашей галактики близка к $2 \cdot 10^{11} M_\odot$. Масса Г. оценивается по наблюдениям вращения или дисперсии скоростей звёзд и др. объектов в зависимости от расстояния до центра вращения. Размер видимой в оптич. диапазоне части галактики в зависимости от её массы изменяется от 1—3 кпк (для Г.-карликов) до 40—50 кпк для гигантских Г. Диаметр нашей галактики ок. 30 кпк.

Ср. плотность Г. близка к 10^{-23} — 10^{-24} г/см³, хотя плотность в центр. областях может достигать значений 10^{-20} — 10^{-22} г/см³. Отношение масса-светимость (M/L) зависит от типа Г. Для Е-галактик обычно $M/L \approx (5-15) M_\odot/L_\odot$, для S-галактик $M/L \approx (5-10) M_\odot/L_\odot$, для Se- и Ir-галактик $M/L \approx 5 M_\odot/L_\odot$.

Масса межзвёздного газа в Е-галактиках пренебрежимо мала, в S-галактиках близка к 3—10%, в Ir-галактиках достигает 20%. Приведённые значения M/L показывают, что осн. масса в галактиках заключена в маломассивных звёздах с $M < M_\odot$. В S- и Ir-галактиках существ. вклад в светимость дают молодые массивные звёзды, не встречающиеся в Е-галактиках. Это

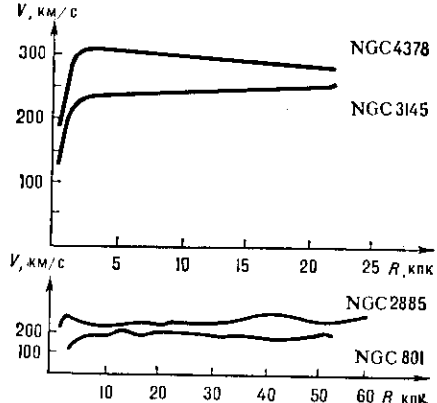


Рис. 4. Кривые вращения галактик (V — линейная скорость вращения на расстоянии R от центра вращения).

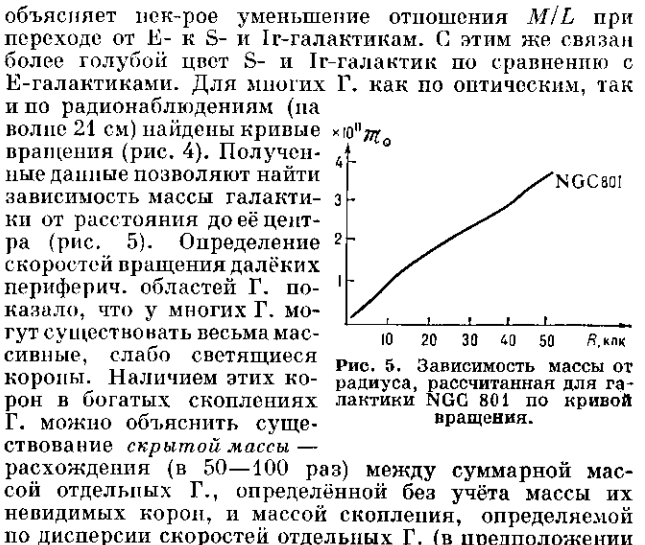


Рис. 5. Зависимость массы от радиуса, рассчитанная для галактики NGC 801 по кривой вращения.